

## 两步退火法对硫化铅薄膜光电性能的影响

范良朝, 黄智, 吕全江\*, 刘桂武, 乔冠军, 刘军林\*\*

江苏大学材料科学与工程学院, 江苏 镇江 212013

**摘要** 采用先低温 O<sub>2</sub> 气氛退火, 后高温 N<sub>2</sub> 气氛退火的两步退火法工艺, 探究了两步退火法对化学浴沉积 (CBD) 制备的多晶硫化铅 (PbS) 薄膜光电性能的影响。结果表明, 相比于一步退火法, 两步退火法所得的 PbS 薄膜具有较大的晶粒尺寸、较少的晶界和良好的光电性能。在两步退火法中, 当第二步退火时间为 80 min 时, PbS 薄膜的响应度为 2.33 A·W<sup>-1</sup>, 比探测率为 1.18×10<sup>10</sup> cm·H<sup>1/2</sup>·W<sup>-1</sup>, 与一步退火法相比分别提高了 259% 和 236%, 即两步退火法可以在传统一步退火法的基础上进一步提高 PbS 红外光电探测器的性能。

**关键词** 薄膜; 硫化铅薄膜; 退火; 化学浴沉积; 响应度; 比探测率

中图分类号 TB43 文献标志码 A

DOI: 10.3788/AOS222038

## 1 引言

光电探测器能够将红外辐照信号转化为电信号, 在成像、安全、遥感和空间探测等领域中有着广泛的应用<sup>[1-7]</sup>。近年来, 随着红外技术的高速发展, 越来越多的半导体材料被引入制作红外光电探测器。硫化铅 (PbS) 是最早用作红外光电探测器的半导体材料之一<sup>[8]</sup>, 凭借其制备成本低、非制冷、探测率高和响应速度快等优点, 目前仍是 1~3 μm 红外光电探测器的关键材料<sup>[9]</sup>。

制备 PbS 薄膜的方法有很多, 如化学浴沉积 (CBD)、磁控溅射、真空热蒸发和原子层沉积等<sup>[10-13]</sup>。然而, 无论采用何种方法制备的原生 PbS 薄膜光电性能都很差, 只有经过敏化处理之后的 PbS 薄膜才可用于制作高性能的红外光电探测器<sup>[14-15]</sup>。研究表明, PbS 薄膜中的氧含量会严重影响其光敏性能<sup>[14]</sup>, 并且在含 O<sub>2</sub> 气氛中退火是提高 PbS 薄膜光电性能的关键。目前, 学者们针对 PbS 薄膜的退火温度、气氛和升温速率等因素对光电性能的影响进行了大量的研究。Preetha 等<sup>[16]</sup>研究了不同退火温度对 PbS 薄膜光学性能的影响, 发现退火温度能显著影响 PbS 薄膜的光学带隙。Liu 等<sup>[14]</sup>研究了 PbS 薄膜在不同氮氧比气氛下的退火过程, 结果表明在退火过程中 N<sub>2</sub> 不仅可以有效抑制 PbS 薄膜表面缺陷的产生, 还能防止 PbS 薄膜过度氧化, 进而提升了光电性能。Jin 等<sup>[17]</sup>利用快速退火技术在空气气氛中对 PbS 量子点进行退火, 并制作了高性能的 PbS 量子点红外探测器。以上研究都是在退

火装置中一步完成, 也就是所谓的一步退火法。一步退火法虽然能够显著提升原生 PbS 薄膜的光电性能, 但是在较高退火温度下容易发生过敏化, 无法满足制备高性能 PbS 红外探测器的需求。如何进一步提高 PbS 红外探测器的性能依旧困扰着学术界和产业界。

本文采用 CBD 法制备了 PbS 薄膜, 并提出了一种两步退火法的新工艺, 即 PbS 薄膜先在较低温度的纯 O<sub>2</sub> 气氛中退火, 再在更高温度的纯 N<sub>2</sub> 气氛中进行第二步退火。研究了两步法中第二步退火时间对 PbS 薄膜微观形貌、晶体结构、薄膜厚度和光电性能的影响。结果表明, 与一步退火法相比, 两步退火法能有效提高 PbS 薄膜的光电性能。

## 2 实验

## 2.1 PbS 薄膜及器件的制备

采用 CBD 法在玻璃衬底上制备了 PbS 薄膜。在沉积开始前, 先用清洗剂清洗直径为 2 inch (1 inch = 2.54 cm) 的玻璃衬底, 再分别在去离子水和无水乙醇中超声清洗 10 min, 最后烘干。PbS 薄膜沉积溶液的总容积为 500 mL, 由乙酸铅 [Pb(CH<sub>3</sub>COO)<sub>2</sub>·3H<sub>2</sub>O, 浓度为 0.1 mol/L]、柠檬酸三钠 (C<sub>6</sub>H<sub>5</sub>Na<sub>3</sub>O<sub>7</sub>, 浓度为 0.2 mol/L)、氢氧化钾 (KOH, 浓度为 7 mol/L) 和硫脲 (CH<sub>4</sub>N<sub>2</sub>S, 浓度为 3 mol/L) 组成, 沉积温度为 80 °C, 沉积时间为 4 h。在沉积结束后, 用去离子水冲洗基片并在空气中干燥。最终可得到表面均匀且呈镜面反射的原生 PbS 薄膜 (命名为 S1)。先采用光刻工艺在原生 PbS 薄膜表面形成图形, 再将其置于铁氰化钾

收稿日期: 2022-11-22; 修回日期: 2022-12-18; 录用日期: 2023-01-03; 网络首发日期: 2023-02-07

基金项目: 江苏省双创团队项目 (JSSCTD202146)

通信作者: \*lvquanjiang@ujs.edu.cn; \*\*liujunlin@ujs.edu.cn

$\{K_3[Fe(CN)_6]\}$  和硫代硫酸钠 ( $Na_2S_2O_3 \cdot 5H_2O$ ) 质量比为 1:1 的溶液中刻蚀 10 min, 最后去除光刻胶。将处理后的原生 PbS 薄膜置于纯  $O_2$  气氛的管式炉中, 以  $20\text{ }^\circ\text{C}/\text{min}$  的速度升温至  $550\text{ }^\circ\text{C}$  并保温 1 h (命名为 S2), 再使其快速降至室温。将第一步  $O_2$  退火后的薄膜置于纯  $N_2$  气氛的管式炉中, 以  $20\text{ }^\circ\text{C}/\text{min}$  的速度升温至  $600\text{ }^\circ\text{C}$  进行第二步退火处理, 保温 10、50、80、110 min (分别命名为 S3、S4、S5、S6), 再使其快速降至室温。采用光刻和磁控溅射工艺在薄膜表面制作 Cr/Au (50 nm / 200 nm) 电极。电极间距为 1 mm, 宽度为  $200\text{ }\mu\text{m}$  (有效面积为  $1\text{ mm} \times 1\text{ mm}$ )。

## 2.2 PbS 薄膜的表征

采用 X 射线衍射仪 (XRD, RigakuUltima IV) 和  $Cu\text{ K}\alpha$  ( $\lambda=0.15406\text{ nm}$ ) 对样品的物相和晶体结构进行表征。采用光学显微镜 (SDPTOP RX50M) 观察样品的表面形貌。使用场发射扫描电子显微镜 (FESEM, FEI Nova Nano 450) 观察样品的表面微观形貌和晶粒尺寸。利用探针式表面台阶仪 (Veeco, Dektak150) 对薄膜的厚度进行测量。采用实验室自己搭建的光电测试系统对薄膜的光电性能进行表征。该系统在室温下用 Keithley 2450 数字源表与探针台连接, 以波长为  $1550\text{ nm}$  且功率可调的激光器作为入射光源, 用波形发生器控制激光光源的开关。

## 3 结果与讨论

### 3.1 晶体结构分析

图 1 为原生和退火后的 PbS 薄膜的 XRD 图谱。样品 S1 的 XRD 图谱显示出立方 PbS 相的衍射峰 (JCPDS No. 05-0592), 无其他明显的杂峰, 表明其为纯相 PbS 薄膜。所有样品的择优取向均为 PbS (200) 晶面。在样品 S2 的 XRD 图谱中, 立方 PbS 相仍然占据主导地位, 同时观察到几个新的衍射峰, 说明有新的相生成, 通过比对标准 PDF 卡片, 新相的成分为  $PbO \cdot PbSO_4$  (JCPDS No. 72-1393)。样品 S3~S6 的 XRD 图谱特征衍射峰与样品 S2 相同, 没有出现新的衍射峰, 说明 PbS 薄膜在  $N_2$  气氛中退火不会生成其他新相。然而, 观察到 PbS (200) 晶面的衍射角 ( $2\theta$ ) 发生了偏移, 这与高温下的热应力有关<sup>[18]</sup>。

### 3.2 形貌分析

图 2 为原生和退火后 PbS 薄膜的光学显微镜形貌图。由图 2(a) 可以看出, 样品 S1 的表面形貌平整且均匀。在图 2(b) 中, 样品 S2 表面出现了大量的圆形凸起结构, 这是由  $O_2$  退火后生成新的氧化相导致的。从图 2(c)~(f) 可以观察到, 随着第二步退火时间的延长, 样品 S4~S6 的表面开始出现孔洞。其中, 样品 S6 的表面孔洞最多, 这可能会对 PbS 薄膜的光电性能产生不利影响。Kamchatka 等<sup>[20]</sup> 的研究表明, PbS 在温度高于  $577\text{ }^\circ\text{C}$  下退火时会发生严重的升华。对于样品

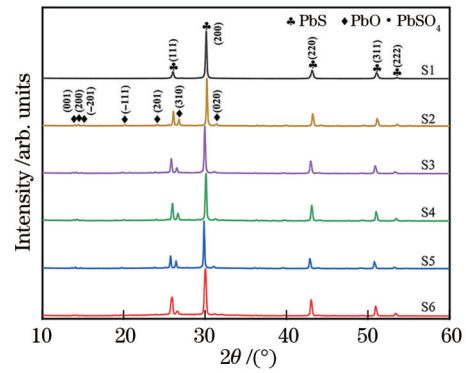


图 1 样品 S1~S6 的 XRD 图谱

Fig. 1 XRD patterns of samples S1-S6

S4~S6, 第二次退火的温度为  $600\text{ }^\circ\text{C}$ , 故孔洞的出现与高温下的升华有关。

图 3 为原生和退火后 PbS 薄膜的扫描电子显微镜 (SEM) 形貌图。从图 3(a) 可以观察到, 样品 S1 由粒径为  $100\sim 600\text{ nm}$  的 PbS 立方晶粒组成, 表面形貌均匀且致密。样品 S2 的表面形貌如图 3(b) 所示, 经过  $550\text{ }^\circ\text{C}$  的纯  $O_2$  气氛退火后, 薄膜的表面由原始的立方晶粒变为均匀分布的鹅卵石状晶粒, 平均晶粒尺寸约为  $235\text{ nm}$ , 晶粒尺寸的减小是由薄膜的氧化引起的<sup>[20]</sup>。结合样品 S2 的 XRD 图谱中出现的  $PbO \cdot PbSO_4$  特征峰, 经过  $550\text{ }^\circ\text{C}$  的纯  $O_2$  气氛退火后形成的鹅卵石状晶粒可能是由  $PbO \cdot PbSO_4$  相包裹的 PbS 晶粒所组成的。从图 3(c)~(f) 可以观察到, 与样品 S2 相比, 第二步  $600\text{ }^\circ\text{C}$  纯  $N_2$  退火后的样品 (样品 S3~S6) 表面的鹅卵石状晶粒尺寸增大 (约为  $350\text{ nm}$ ), 这是因为鹅卵石状晶粒在高温热力学驱动力的作用下晶粒会发生再结晶<sup>[21-22]</sup>。此外, 在退火后的薄膜表面都观察到了裂纹, 这是由退火后的快速降温过程中 PbS 薄膜与玻璃衬底的热膨胀系数 (玻璃和 PbS 的热膨胀系数分别为  $8.9 \times 10^{-6}\text{ K}^{-1}$  和  $20.3 \times 10^{-6}\text{ K}^{-1}$ <sup>[23]</sup>) 失配所引起的。

### 3.3 光电性能和厚度分析

图 4 为光电性能测试示意图和不同光功率密度下 PbS 薄膜的光电性能, 此时偏置电压为  $50\text{ V}$ 。图 4(a) 为 PbS 光电探测器的测试示意图。图 4(b) 显示了 PbS 光电探测器的光生电流 ( $I_{ph}$ ) 与入射激光功率密度 ( $P$ ) 之间的关系, 其中  $I_{ph}$  是光电流 ( $I_{light}$ ) 与暗电流 ( $I_{dark}$ ) 之差 ( $I_{ph} = I_{light} - I_{dark}$ )。从图 4(b) 可以观察到, 随着  $P$  值的增加, 样品 S2~S6 的  $I_{ph}$  值非线性增加, 且逐渐趋向于饱和。在相同的  $P$  值下: 随着两步法中第二步退火时间的增加 (从 10 min 到 80 min), 样品 S2~S5 的  $I_{ph}$  值呈逐渐增大的趋势; 当退火时间为 110 min 时, 样品 S6 的  $I_{ph}$  值显著下降, 且在较高的人射激光功率密度下这种下降更为明显。当  $P=12.7\text{ mW} \cdot \text{mm}^{-2}$  时, 样品 S2~S6 的  $I_{ph}$  值分别为  $2.12$ 、 $2.12$ 、 $2.20$ 、 $1.03\text{ mA}$ 。图 4(c) 和图 4(d) 分别为样品的响应率  $R$  [ $R = I_{ph}/(PA)$ ] 和比探测率  $D^*$  ( $D^* = R\sqrt{A}/\sqrt{2qI_{dark}}$ ) 随  $P$  值变化的曲



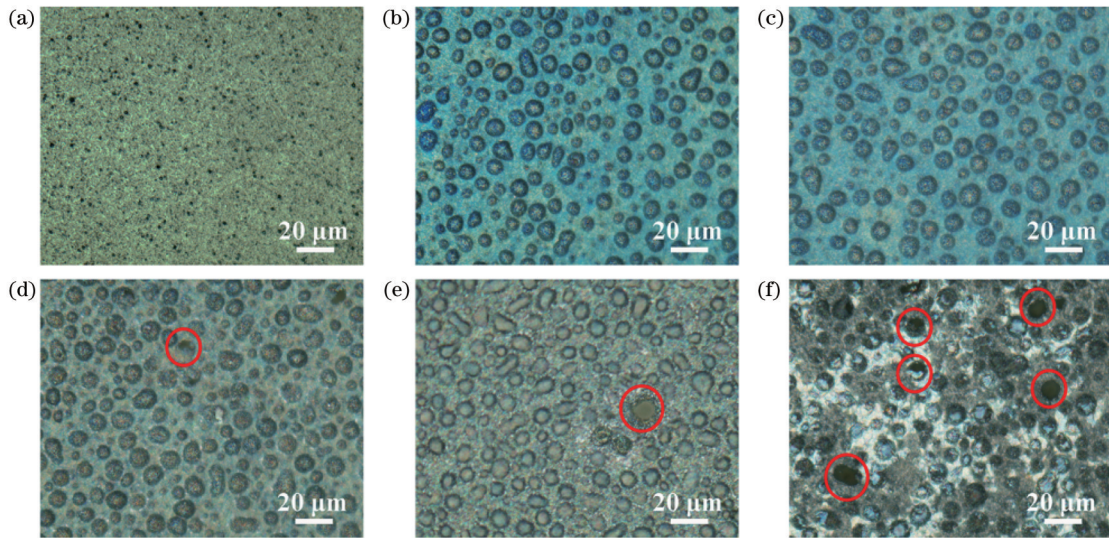


图 2 样品 S1~S6 的光学显微镜表面形貌图。(a) 样品 S1; (b) 样品 S2; (c) 样品 S3; (d) 样品 S4; (e) 样品 S5; (f) 样品 S6  
Fig. 2 Optical microscope surface morphologies of samples S1-S6. (a) Sample S1; (b) sample S2; (c) sample S3; (d) sample S4; (e) sample S5; (f) sample S6

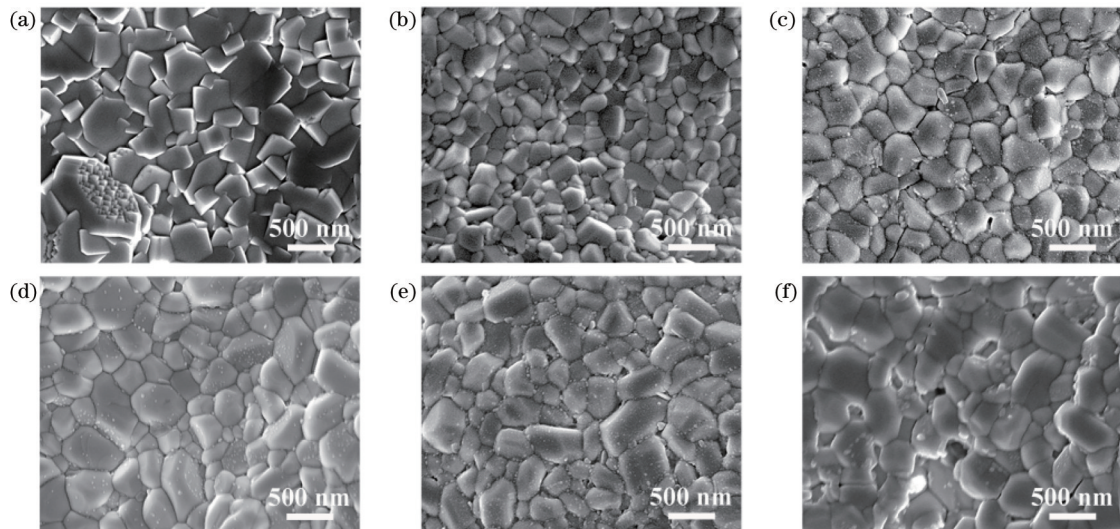


图 3 样品 S1~S6 的 SEM 表面形貌图。(a) 样品 S1; (b) 样品 S2; (c) 样品 S3; (d) 样品 S4; (e) 样品 S5; (f) 样品 S6  
Fig. 3 SEM surface morphologies of samples S1-S6. (a) Sample S1; (b) sample S2; (c) sample S3; (d) sample S4; (e) sample S5; (f) sample S6

线,其中  $A$  为有效面积 ( $A = 1 \text{ mm} \times 1 \text{ mm}$ ),  $q$  为基本电荷 ( $q = 1.6 \times 10^{-19} \text{ C}$ )。从图 4(c)、(d) 中可以观察到: 样品 S2~S6 的  $R$  值和  $D^*$  值都随着  $P$  值的增加而减小,且在较小的人射激光功率密度下更为明显;随着  $P$  值继续增大,  $R$  值和  $D^*$  值的下降趋势逐渐趋向平缓。这种现象是由随着入射激光功率密度的增大,虽然光生载流子的数量增加,但是光子转化为  $I_{\text{ph}}$  的效率降低所导致的。可以发现,当  $P$  值较小时,可以获得更高的  $R$  值和  $D^*$  值,这与 Liu 等<sup>[10]</sup>报道的结果相同。

图 5(a) 为所有 PbS 薄膜样品的厚度结果图,样品 S1~S6 的厚度分别为 1031、1894、1634、1573、1176、796 nm。与样品 S1 相比样品 S2 的厚度显著增加,这是因为在第一步退火过程中, PbS 薄膜与  $\text{O}_2$  反应生成

了新的氧化相,体积发生了膨胀<sup>[20]</sup>。随着第二步退火时间的增加,样品 S3~S6 的厚度呈现逐渐减小的趋势,且与其他样品相比,样品 S6 的厚度降低最为显著。这是因为两步法中第二步退火是在  $\text{N}_2$  气氛中进行的,并没有生成新的氧化相,但第二步退火的温度较高会导致薄膜升华,进而引起薄膜厚度降低。样品 S2~S6 的  $I_{\text{dark}}$  值和  $R$  值 (测试偏压为 50 V, 光功率密度为  $0.2 \text{ mW} \cdot \text{mm}^{-2}$ , 入射光波长为 1550 nm) 如图 5(b) 和图 5(c) 所示。可以观察到,样品 S3 的  $I_{\text{dark}}$  值和  $R$  值较样品 S2 都有增加,是因为两步退火法中第二步退火温度较第一步退火温度有所升高,通过图 3 的 SEM 形貌图可以观察到,第二步退火使晶粒发生再结晶,引起晶粒长大,晶界减少<sup>[22]</sup>。通过第二步高温  $\text{N}_2$  退火使晶粒

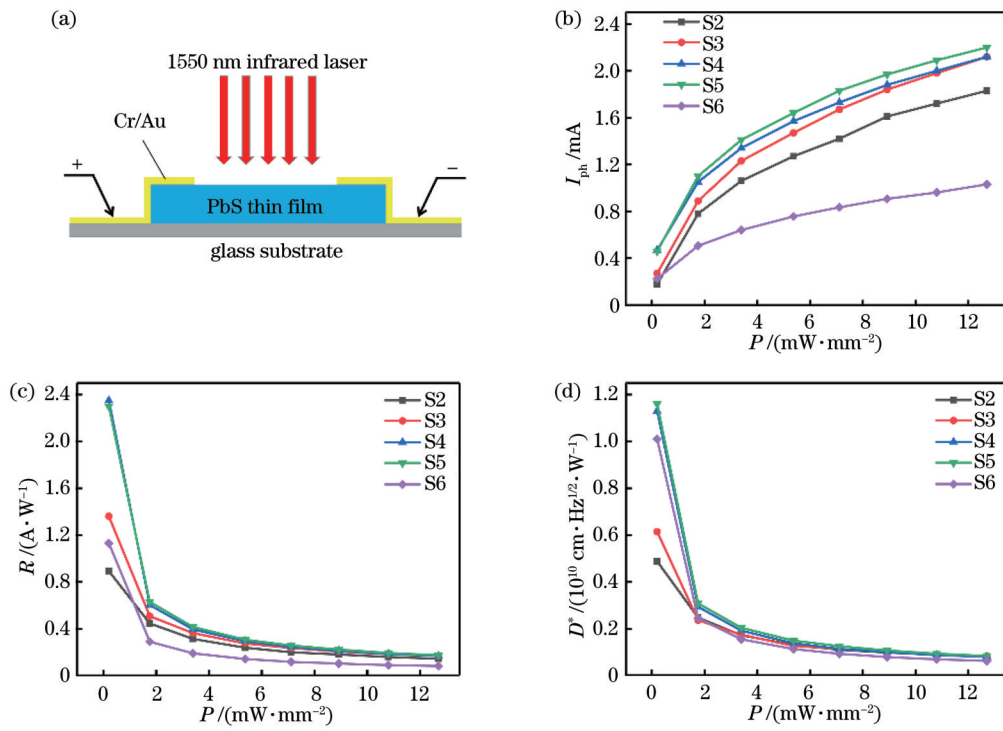


图 4 光电性能测试示意图和不同光功率密度下 PbS 薄膜的光电性能。(a) 光电性能测试示意图; (b)  $I_{ph}$ ; (c)  $R$ ; (d)  $D^*$   
 Fig. 4 Schematic diagram of optoelectronic property test and optoelectronic properties of PbS thin films at different optical power densities. (a) Schematic diagram of optoelectronic property test; (b)  $I_{ph}$ ; (c)  $R$ ; (d)  $D^*$

发生再结晶提高了晶体质量,产生更多的光生载流子,同时晶界减少还降低了载流子运输所需要克服的势垒。随着两步退火法中第二步退火时间的增加,晶体的质量进一步提高,样品 S4 的  $R$  值增加。然而,长时间的高温热处理在提高晶体质量的同时也伴随着薄膜的升华(使得薄膜厚度降低),并且衬底与 PbS 薄膜之间的热膨胀系数失配会使得 PbS 薄膜产生裂纹,导致样品 S4 的  $I_{dark}$  值减小。随着两步退火法中第二步退火时间的进一步增加,升华变得更加严重,样品 S5 的  $I_{dark}$  值和  $R$  值都出现了降低趋势。当两步退火法中第二步退火时间为 110 min 时,样品 S6 的  $I_{dark}$  值和  $R$  值都出现了明显的下降,厚度也达到了最低。此时,从图 2(f) 可以观察到,样品 S6 表面出现了较多孔洞,部分晶粒之间的连接被断开,这种现象会导致载流子的产生和运输效率都显著降低。由此可见,两步退火法中第二步长时间高温退火会显著影响 PbS 薄膜的  $I_{dark}$  值和  $R$  值,降低薄膜光电性能。样品 S2~S6 的  $D^*$  值(测试偏压为 50 V,光功率密度为  $0.2 \text{ mW}\cdot\text{mm}^{-2}$ ,入射光波长为 1550 nm)如图 5(d) 所示。可以观察到,随着两步退火法中第二步退火时间的增加,样品的  $D^*$  值呈现先增大后减小的趋势。当第二步退火时间为 80 min 时,样品 S5 的  $D^*$  值达到最大值,与一步退火法的样品 S2 相比,提高了 236%(从  $5 \times 10^9 \text{ cm}\cdot\text{Hz}^{1/2}\cdot\text{W}^{-1}$  增加至  $1.18 \times 10^{10} \text{ cm}\cdot\text{Hz}^{1/2}\cdot\text{W}^{-1}$ ), $R$  值也提高了 259%(从  $0.90 \text{ A}\cdot\text{W}^{-1}$  到  $2.33 \text{ A}\cdot\text{W}^{-1}$ )。

在两步退火法的第一步退火过程中, $\text{O}_2$  不仅与

PbS 薄膜表面晶粒发生反应生成  $\text{PbO}\cdot\text{PbSO}_4$  相,还会沿着 PbS 晶界扩散到薄膜内部。然而,生成的氧化相不足以完全阻断载流子在 PbS 薄膜内部的运输。在两步退火法的第二步退火过程中,高温  $\text{N}_2$  退火使 PbS 晶体质量提高的同时也伴随着严重的升华。由此可见,合理控制第二步退火时间既可以提高 PbS 薄膜的晶体质量,又可以避免 PbS 薄膜发生严重的升华。最终可使 PbS 红外光电探测器得到相对较高的  $R$  值和较低的  $I_{dark}$  值,获得较高的  $D^*$  值。

为了研究 PbS 薄膜的高频率响应特性,测试样品 S5 在 4 kHz 高频脉冲光照下的响应,此时偏置电压为 50 V, $P$  值为  $0.2 \text{ mW}\cdot\text{mm}^{-2}$ ,入射波长为 1550 nm。样品 S5 的  $I_{ph}-t$  归一化曲线如图 6 所示,其中  $t$  为时间。可以发现,样品 S5 具有良好的高频稳定性。结果表明,两步退火法处理后的样品可以实现高频稳定响应。

## 4 结 论

采用 CBD 法合成制备了多晶 PbS 薄膜,研究了两步退火法对 PbS 薄膜光电性能的影响。首先,在 550 °C 温度的纯  $\text{O}_2$  气氛下对 PbS 薄膜进行第一步退火。然后,将  $\text{O}_2$  退火后的薄膜在 600 °C 的  $\text{N}_2$  气氛下进行第二步退火。系统地研究了第二步退火时间对 PbS 薄膜光电性能的影响。研究表明,当第二步退火时间为 80 min 时,在偏压为 50 V、光功率密度为  $0.2 \text{ mW}\cdot\text{mm}^{-2}$  和入射波长为 1550 nm 的测试条件下,样品的  $R$  值达到  $2.33 \text{ A}\cdot\text{W}^{-1}$ , $D^*$  值达到



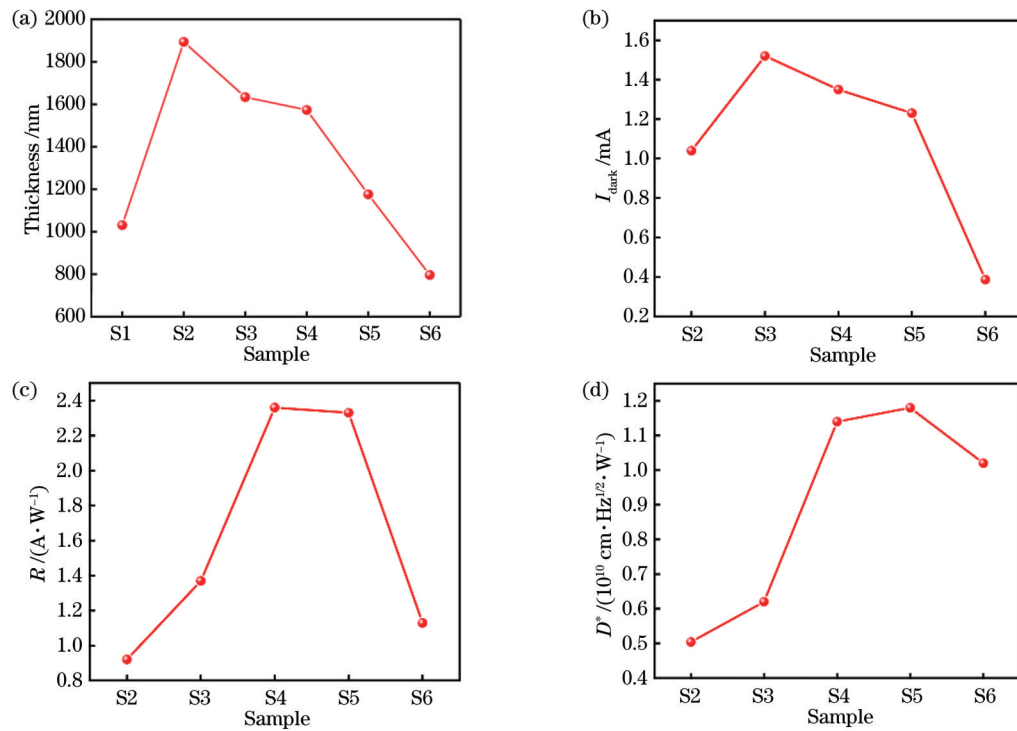


图5 PbS薄膜的厚度与光电性能。(a)样品S1~S6的厚度;(b)样品S2~S6的 $I_{\text{dark}}$ ;(c)样品S2~S6的 $R$ ;(d)样品S2~S6的 $D^*$   
Fig. 5 Thicknesses and optoelectronic properties of PbS thin films. (a) Thicknesses of samples S1-S6; (b)  $I_{\text{dark}}$  of samples S2-S6; (c)  $R$  of samples S2-S6; (d)  $D^*$  of samples S2-S6

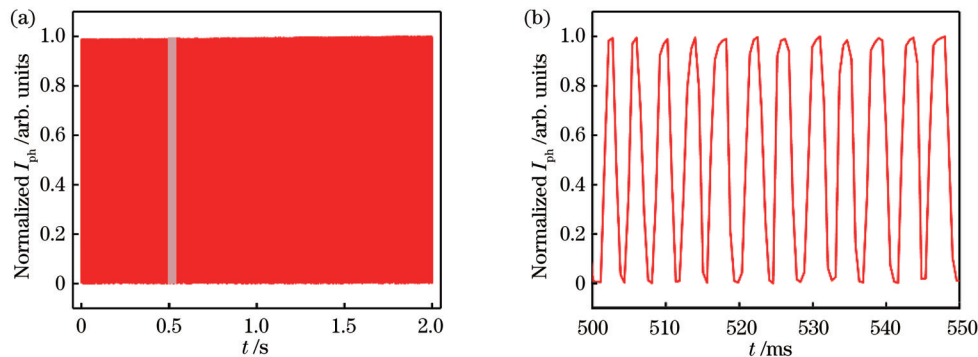


图6 样品S5的高频响应图。(a) 4 kHz下的归一化响应曲线;(b)图6(a)中的部分放大图

Fig. 6 Response diagram of sample S5 at high frequency. (a) Normalized response curve at 4 kHz; (b) partial magnification of Fig. 6(a)

$1.18 \times 10^{10} \text{ cm} \cdot \text{Hz}^{1/2} \cdot \text{W}^{-1}$ 。与一步退火法的PbS薄膜相比,样品的 $R$ 值和 $D^*$ 值分别提高233%和236%。结果表明,两步退火法可以在传统一步退火法的基础上进一步提高PbS红外光电探测器的性能。

#### 参 考 文 献

- [1] Liu J, Liu P L, Chen D Y, et al. A near-infrared colloidal quantum dot imager with monolithically integrated readout circuitry[J]. Nature Electronics, 2022, 5(7): 443-451.
- [2] 冯仕亮, 陈荣鹏, 王巍巍, 等. 新型Se微米管/Spiro-MeOTAD异质结型光电探测器[J]. 光学学报, 2022, 42(20): 2023002. Feng S L, Chen R P, Wang W W, et al. Novel Se microtube/Spiro-MeOTAD heterojunction photodetector[J]. Acta Optica Sinica, 2022, 42(20): 2023002.
- [3] Ma N N, Jiang J Z, Zhao Y, et al. Stable and sensitive tin-lead perovskite photodetectors enabled by azobenzene derivative for near-infrared acousto-optic conversion communications[J]. Nano Energy, 2021, 86: 106113.
- [4] 陈凡胜, 胡璋悦, 李潇雁, 等. 宽幅高分辨热红外遥感成像技术研究[J]. 中国激光, 2021, 48(12): 1210002. Chen F S, Hu Z Y, Li X Y, et al. Research on wide-range and high-resolution thermal infrared remote sensing imaging technology[J]. Chinese Journal of Lasers, 2021, 48(12): 1210002.
- [5] 林亚楠, 吴亚东, 程海洋, 等. PdSe<sub>2</sub>纳米线薄膜/Si异质结近红外集成光电探测器[J]. 光学学报, 2021, 41(21): 2125001. Lin Y N, Wu Y D, Cheng H Y, et al. Near-infrared integrated photodetector based on PdSe<sub>2</sub> nanowires film/Si heterojunction [J]. Acta Optica Sinica, 2021, 41(21): 2125001.
- [6] Yin X T, Zhang C, Guo Y X, et al. PbS QD-based photodetectors: future-oriented near-infrared detection technology[J]. Journal of Materials Chemistry C, 2021, 9(2): 417-438.
- [7] Zhang S, Chen M L, Mu G, et al. Spray-stencil lithography

- enabled large-scale fabrication of multispectral colloidal quantum-dot infrared detectors[J]. *Advanced Materials Technologies*, 2022, 7(6): 2101132.
- [8] Gupta M C, Harrison J T, Islam M T. Photoconductive PbSe thin films for infrared imaging[J]. *Materials Advances*, 2021, 2(10): 3133-3160.
- [9] Rogalski A. History of infrared detectors[J]. *Opto-Electronics Review*, 2012, 20(3): 279-308.
- [10] Liu S L, Fei G T, Xu S H, et al. High-performance visible-near IR photodetectors based on high-quality  $\text{Sn}^{2+}$ -sensitized PbS films[J]. *Journal of Alloys and Compounds*, 2021, 883: 160860.
- [11] Xiao Y H, Xu T W, Zhang M F, et al. Study of the quasi-single crystalline lead sulfide film deposited by magnetron sputtering and its infrared detecting characteristics[J]. *Journal of Materials Science: Materials in Electronics*, 2022, 33(20): 16029-16044.
- [12] Kumar S, Sharma T P, Zulfequar M, et al. Characterization of vacuum evaporated PbS thin films[J]. *Physica B: Condensed Matter*, 2003, 325: 8-16.
- [13] Popov G, Bačić G, Mattinen M, et al. Atomic layer deposition of PbS thin films at low temperatures[J]. *Chemistry of Materials*, 2020, 32(19): 8216-8228.
- [14] Liu F, Deng H, Zhao A P, et al. Effect of annealing atmosphere on structure and properties in chemically deposited PbS thin films[J]. *Advanced Materials Research*, 2011, 399/400/401: 875-879.
- [15] Zhao L H, Qiu J J, Weng B B, et al. Understanding sensitization behavior of lead selenide photoconductive detectors by charge separation model[J]. *Journal of Applied Physics*, 2014, 115(8): 084502.
- [16] Preetha K C, Remadevi T L. Behavior of chemically deposited PbS thin films subjected to two different routes of post deposition annealing[J]. *Materials Science in Semiconductor Processing*, 2013, 16(3): 605-611.
- [17] Jin J Y, Kyhm J, Hwang D K, et al. Precise control of the oxidation state of PbS quantum dots using rapid thermal annealing for infrared photodetectors[J]. *ACS Applied Nano Materials*, 2021, 4(1): 1-6.
- [18] Qiu J J, Shin D M, He W Z, et al. Synthesis and physical properties of zinc-oxide textured films by using a filtered preheated hydrothermal[J]. *Journal of the Korean Physical Society*, 2014, 65(9): 1423-1429.
- [19] Sadovnikov S I. Thermal stability and recrystallization of semiconductor nanostructured sulfides and sulfide solid solutions [J]. *Journal of Alloys and Compounds*, 2019, 788: 586-599.
- [20] Kamchatka M I, Chashchinov Y M, Chesnokova D B. Effect of oxidation conditions on the phase composition, structure, and properties of photosensitive lead sulfide layers[J]. *Inorganic Materials*, 2001, 37(9): 910-914.
- [21] Sadovnikov S I, Kozhevnikova N S, Rempel A A. Stability and recrystallization of PbS nanoparticles[J]. *Inorganic Materials*, 2011, 47(8): 837-843.
- [22] Qiu J J, Liu Y, Zhang G D, et al. Modified vapor phase deposition technology for high-performance uncooled MIR PbSe detectors[J]. *RSC Advances*, 2021, 11(55): 34908-34914.
- [23] 安东尼·罗格夫斯基. 红外探测器[M]. 周海宪, 程云芳, 译. 2版. 北京: 机械工业出版社, 2014: 474.
- Rogalski A. Infrared detectors[M]. Zhou H X, Chen Y F, Transl. 2nd ed. Beijing: China Machine Press, 2014: 474.

## Effect of Two-Step Annealing on Optoelectronic Properties of Lead Sulfide Thin Films

Fan Liangchao, Huang Zhi, Lü Quanjiang\*, Liu Guiwu, Qiao Guanjun, Liu Junlin\*\*  
*School of Materials Science and Engineering, Jiangsu University, Zhenjiang 212013, Jiangsu, China*

### Abstract

**Objective** Lead sulfide (PbS) is an important semiconductor material in group IV-VI semiconductors with a narrow band gap (0.41 eV) and a large exciton Bohr radius (18 nm) at room temperature. These characteristics make PbS highly sensitive to infrared (IR) radiation, which has led to the widespread use of PbS films in IR detectors, solar cells, gas sensors, and other fields. The as-grown PbS thin films respond poorly to IR and can only be used as highly sensitive IR detectors after sensitization. Annealing in oxygen is an effective method to enhance the photosensitivity of PbS detectors, and oxygen has been proven to be the best sensitizer. Although numerous studies have been carried out on one-step annealing in an oxygen-contained atmosphere, the development of new methods to further improve thin films' responsiveness to IR continues to plague academia and industry. In this work, a new two-step sensitization treatment process for as-grown PbS thin films by the chemical bath deposition (CBD) method is investigated, in which the films are first annealed in oxygen at a low temperature and then re-annealed in nitrogen at a higher temperature. It is shown that this process can effectively improve the optoelectronic properties of PbS thin films compared with pure oxygen annealing.

**Methods** PbS thin films are fabricated on glass substrates by the CBD method. The reaction solution is composed of lead acetate [ $\text{Pb}(\text{CH}_3\text{COO})_2 \cdot 3\text{H}_2\text{O}$ ], trisodium citrate ( $\text{C}_6\text{H}_5\text{Na}_3\text{O}_7$ ), potassium hydroxide (KOH), and thiourea ( $\text{CH}_4\text{N}_2\text{S}$ ). The cleaned glass substrates are immersed in the deposition bath. After deposition, the samples are rinsed with deionized water and dried. The as-grown PbS films are uniform, mirror-reflective films, and subsequently, they are annealed in oxygen for 1 h at 550 °C. Lastly, the oxygen-annealed thin films are re-annealed in nitrogen at 600 °C for 10 min, 50 min, 80 min, and 110 min. The Cr/Au electrodes are realized by the magnetron sputter, and the phase and crystal structure of these samples are characterized by the X-ray diffractometer. The surface morphology of the samples is observed by optical microscope

and scanning electron microscope (SEM), and the thicknesses of the films are measured by the step profiler. The photoelectric properties are evaluated by a photoelectric test system with a source meter connected to a probe station at room temperature. Lasers are used as excitation sources, and a waveform generator is employed to control the switching of the lasers.

**Results and Discussions** The as-grown PbS thin film shows a dense, compact surface morphology. After oxygen annealing, the new oxidation phase is formed (Fig. 1). Some holes are observed on the surface of the annealed thin films as the re-annealing continues (Fig. 2). The grains of re-annealed thin films recrystallize to form larger nanocrystals powered by the thermodynamic driving force at high temperature (Fig. 3). The study of photoelectric properties shows that the photocurrent of samples increases before it declines with the re-annealing time at different power densities [Fig. 4 (b)]. The responsivity and specific detectivity of thin films drop as the light power density increases [Fig. 4(c) and Fig. 4(d)]. Although the number of photogenerated carriers increases with the rise in light power density, the conversion efficiency of photons into photocurrent is reduced. As the re-annealing time goes by, the values of specific detectivity and responsivity both increase first and then decrease. For a short period of re-annealing, the grains recrystallize to form microcrystals with high crystal quality, which allows the specific detectivity and responsivity values to rise. As the re-annealing time further increases, over re-annealing not only reduces the thicknesses of the films but also creates holes, which leads to lower specific detectivity and responsivity. The optimum value of specific detectivity is obtained at a re-annealing time of 80 min when the specific detectivity and responsivity values are  $236\%$  ( $5 \times 10^9 \text{ cm} \cdot \text{Hz}^{1/2} \cdot \text{W}^{-1}$  to  $1.18 \times 10^{10} \text{ cm} \cdot \text{Hz}^{1/2} \cdot \text{W}^{-1}$ ) and  $259\%$  ( $0.90 \text{ A} \cdot \text{W}^{-1}$  to  $2.33 \text{ A} \cdot \text{W}^{-1}$ ) higher than those of thin films only annealed in oxygen, respectively [Fig. 5 (c) and Fig. 5(d)]. In addition, the sample re-annealed for 80 min exhibits high-frequency switching behavior and excellent stability at 4 kHz (Fig. 6).

**Conclusions** In this study, polycrystalline PbS thin films are prepared by the CBD method. The thin films are sensitized with the two-step annealing method, in which the thin films are first annealed in oxygen at a low temperature and then re-annealed in nitrogen at a higher temperature. Appropriate nitrogen re-annealing time improves photoelectric properties by improving the crystal quality of thin films. The results show that the photoelectric properties of the PbS thin films sensitized with the two-step annealing method are significantly enhanced. Compared with the case of one-step annealing, the responsivity of thin films annealed in two steps with a re-annealing time of 80 min can be increased to  $2.33 \text{ A} \cdot \text{W}^{-1}$ , an increase of about  $259\%$ , and the specific detectivity is raised to  $1.18 \times 10^{10} \text{ cm} \cdot \text{Hz}^{1/2} \cdot \text{W}^{-1}$ , a growth rate of about  $236\%$ , under the light power density of  $0.2 \text{ mW} \cdot \text{mm}^{-2}$  and incident wavelength of 1550 nm. Additionally, the sample re-annealed for 80 min shows high-frequency switching behavior and excellent stability at 4 kHz. More importantly, two-step annealing can improve the photoelectric properties of the photodetectors on the basis of the traditional oxygen-sensitized thin films.

**Key words** thin films; PbS thin films; annealing; chemical bath deposition; responsivity; specific detectivity